

# 逐次破壊現象としての変形と耐荷力の解析法の試み

## — 非線型な応力—ひずみ状態にある非均質な基盤 —

電力中央研究所

土木第二部

林 正夫

### 1. 要旨

従来は実際の破壊とあまり適合しないが剛体の力の釣り合いまたは全体が塑性化して一挙に破壊するとして論じていた題記の問題を、この報告は逐次破壊現象として解析しようと試みている。その着想は、荷重が増すにつれて、破壊条件に近いところは剛性が非線型的に低下することを計算に入れて、応力の再配分と各変形成分を逐次的に解析しようとする点にあり、Finite Element 法をこのようない目的で拡張している。この手法を用いると従来難問題とされていた逐次破壊を定量的に論じる糸口を見出せるが、さらに大ひずみに対する補正、荷重履歴や慣性項の導入および降伏近くでの応力—ひずみ関係の正確な導入など理論面でも実験の面でも改良すべき点が多い。

### 2. 解析方法

平面ひずみ状態で図 4 の各要素が図 1 の応力レベルに応じた変形係数  $D_R$  やボアソン比  $\mu_R$  として非均質に分布するとして解析する。仮定として微小ひずみ理論で剛性マトリックスを組立てているが将来は大ひずみ理論に修正したいと思っている。図 1 の非線形度を規定するのに図 3 の包絡線 I (厳密には II) と応力円の最短距離  $d$  に応じて緩み係数  $R$  を次式で定義する\*。

$$R = \frac{10d}{\tau_R} = \frac{10}{\tau_R} \left[ \left\{ \tau_R \cot \varphi - \frac{(\sigma_1 + \sigma_2 + 2u)}{2} \right\} \sin \varphi - \frac{(\sigma_1 - \sigma_2)}{2} \right] \quad \dots \dots \dots (1)$$

ここで  $u$  は間げき水圧である。  $R$  が大きい程結合は強く変形係数  $D_R$  は大でボアソン比  $\mu_R$  は小である。 $R$  が 0 以下になるとその点は局部的に破損するので  $R$  が 1 以下では急速に  $D_R$  は小となり、  $\mu_R$  は大となる特性を次式で与え、それを図示すると図 2 のようになる。

$$D_R = D_{R,\text{initial}} (\log_{10} R + 0.001) \quad \dots \dots \dots (2)$$

ただし  $R \leq 1$  では  $D_R = 0.001 D_{R,\text{initial}}$

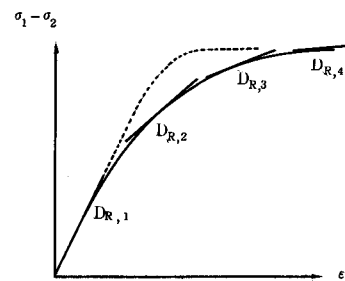


Fig. 1 Non-Linear Stress-Strain Curve

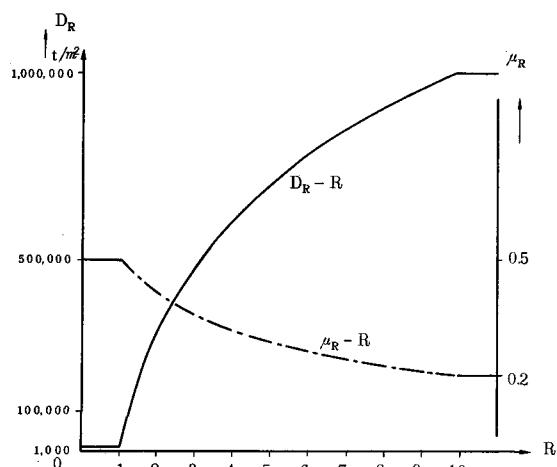


Fig. 2 Modulus of Deformability  $D_R$  and Poisson's Ratio  $\mu_R$  versus Factor of Relaxation  $R$

\* 図 1 の点線のような鋭い変曲を扱うには係数 10 をさらに大きくとるとよい。

$$R \geq 10 \text{ では } D_R = D_{R,\text{initial}}$$

$$\mu_R = 0.5 - 0.3 \log_{10} R \quad \dots \dots \dots \quad (3)$$

たゞし  $R \leq 1$  では  $\mu_R = 0.5$

$R \geq 10$  では  $\mu_R = 0.2$

初期値  $\tau_R$ ,  $\tan \varphi_R$ ,  $D_R$ ,  $\mu_R$  などは実際の試験値の分布に基  
き列マトリックス  $\{\tau_R\}_n$ ,  $\{\tan \varphi_R\}_n$ ,  $\{D_R\}_n$ , および  $\{\mu_R\}_n$  と  
して非均質に与えることは演算の何らのさまたげとならない。

図 4 の板要素の数  $n$ , 可動節点の数  $N$  とすると, 各節点の外  
荷重の  $x$ ,  $y$  成分の列マトリックスは  $\{4L\}_{2N}$  と書ける。各要素

の 3 頂点  $i$ ,  $j$ ,  $k$  はそれぞれヒンジ, ローラー, 自由端とし, この要素が  $\epsilon_x$ ,  $\epsilon_y$ ,  $\tau$  のひずみマト  
リックス  $\{\epsilon\}$  を受けるときの節点  $j$ ,  $k$  の  $x$  方向変位  $u_j$ ,  $u_k$ ,  $y$  方向変位  $v_k$  などよりなる変位マ  
トリックス  $\{V\}$  は  $\{V\} = [B]\{\epsilon\}$  となり, 応力  $\sigma_x$ ,  $\sigma_y$ ,  $\tau_{xy}$  などを表わす  $\{\sigma\}_n$  と  $\{\epsilon\}$  の関係は  
 $\{\sigma\}_n = [H]\{\epsilon\}$  で表わせる。こゝに  $[B]$  と  $[H]$  は微小ひずみ理論より定まる変換マトリックスで  
ある。したがって,  $\{\sigma\}_n = [H](B^{-1})\{V\}$  となる。つぎに各節点に順次適用する単位仮想変位

$$D_R(\text{initial}) = 1,000,000 \text{ t/m}^2$$

$$\mu_R(\text{initial}) = 0.2$$

$$\sigma = 84 \text{ ton/m}^2$$

$$\tau = 17 \text{ ton/m}^2$$

$$5 \text{ m}$$

$$\tau_0 = 250 \text{ ton/m}^2$$

$$\tan \varphi = 1.0$$

$$\text{elements : } n=58$$

$$\text{nodal points : } N=32$$

◎ yielding  
elements  
at  $p=4$

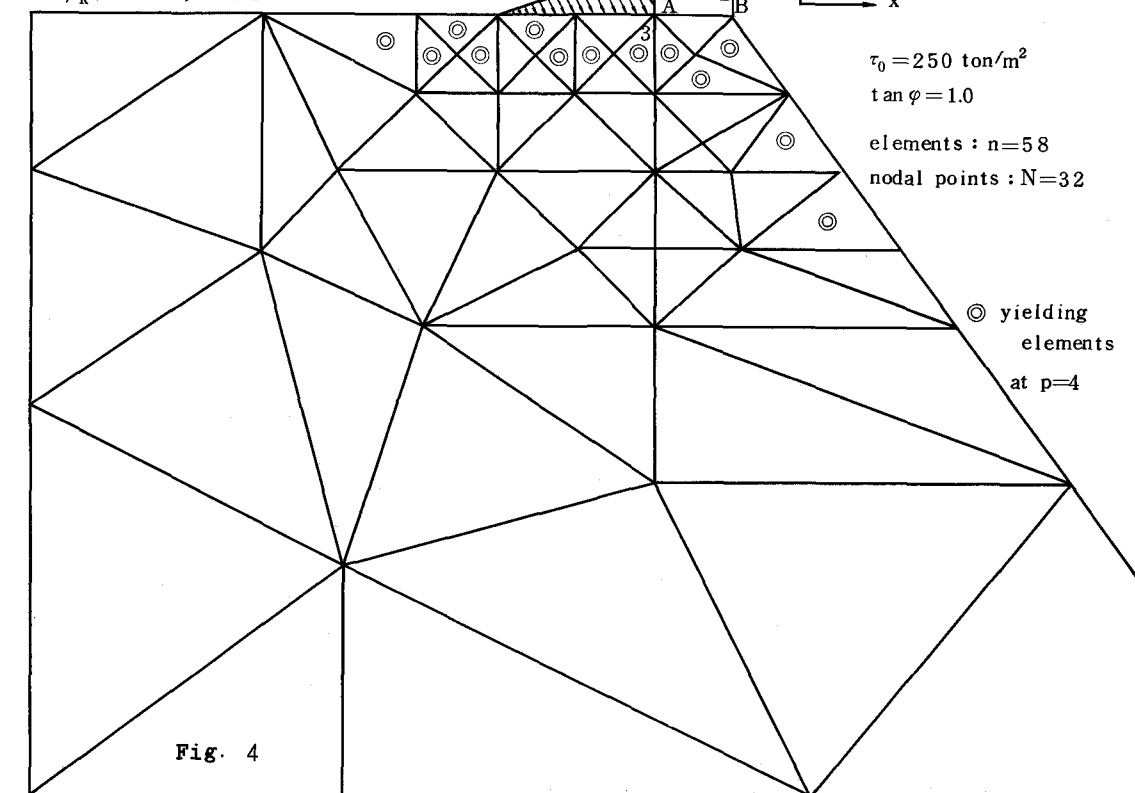


Fig. 4

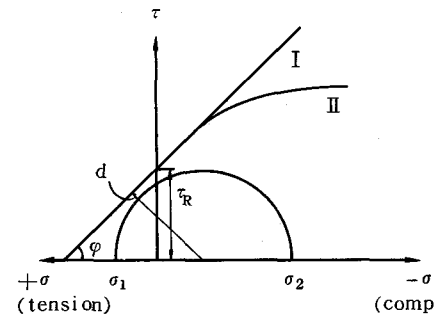


Fig. 3

{ I } による仮想ひずみ {  $\bar{\epsilon}$  } は  $\{ \bar{\epsilon} \} = [B^{-1}](I)$

$= [B^{-1}]$  で、一方節点力 { S } による外部  
仮想仕事  $W_e$  は  $W_e = \{ I \} \{ S \} = \{ S \}$  で、内  
部仮想仕事  $W_i$  は  $W_i = \iint \{ \bar{\epsilon} \}^T \times \{ \sigma \}_n dx dy$   
 $= \iint [B^{-1}]^T [H] [B^{-1}] \{ V \} dx dy$  である。

仮想仕事の原理により  $W_e = W_i$  と置き、 { S }  
 $= \iint [B^{-1}]^T [H] [B^{-1}] dx dy \{ V \} = [k_i] \{ V \}$

となる。  $[k_i]$  を各要素の剛性マトリックスと  
呼び、各要素の座標、変形係数、ポアソン比より計

算できる。系全体としての剛性マトリックス  $[k]$   
は今の  $[k_i]$  を右下りの対角要素として配列し、他の  
要素をゼロとした  $3n$  行  $3n$  列の正方マトリック  
スで表わせる。さらに各節点変位 { r } による隣接  
点変位 { V } の関係式  $\{ V \} = [a] \{ r \}$  および

{ r } による節点力 { AL } = [K] { r } とすると、若

干の計算により  $[K] = [a]^T [K] [a]$  なる関係

が導かれる。また各要素ごとの応力マトリック

$\{ \sigma \}_n = [H] [B^{-1}] \{ V \} = [G_i] \{ V \}$  とす

ると、系全体としての  $[G]$  は  $[G_i]$  なる小行

列を右下りの対角線上に配列し、他の要素をゼ

ロとした正方行列となり、系全体としての応力

$\{ \sigma \}$  は  $\{ \sigma \} = [G] \{ V \}$  となる。荷重段階

$p=1, 2, 3, \dots$  で  $\{ \sigma \}$  と  $\{ r \}$  を求めて

から前段階 ( $p-1$ ) でのそれらと加えてから、

緩み係数  $\{ R \}$  を(1)で、変形に関する数  $\{ D_R \}$

と  $\{ \mu_R \}$  を(2)と(3)で求めて ( $p+1$ ) の段階に移ることになる。耐荷力は変位が急増したときの  
荷重として判断することになるがこの論議は別の機会に譲る。従来の安定を論ずる考え方と全く異なる  
ことは、剛性の変化、応力の再分布、逐次的な変位量などを定量的に論じながら安定を考えることに  
ある。

### 3. 一試算例と考察

図4の  $n=58$  の基盤が最初、変形係数  $D_R = 100$  万  $t/m^2$ ,  $\mu_R = 0.2$  で存在し、これに外荷重が図4  
のように作用し、荷重が  $p=1, 2, 3, 4$  と増していく場合には、前節で述べた計算を IBM 7090  
で行った結果、変形係数  $D_R$  が図5のように各段階で変化し、剛性の分布は興味ぶかい変遷を示して

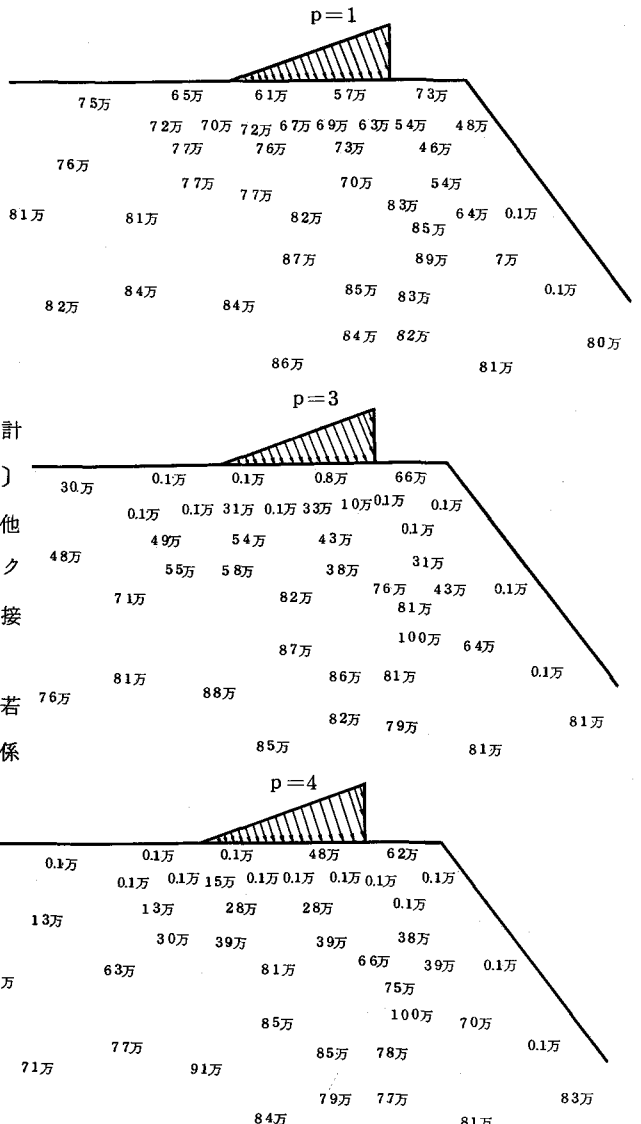


Fig. 5 Changes of Deformability  $D_R$

いる。式(2)でのべたように下限値は0.1万に抑えたので0.1万となったところは塑性化したところであり、 $p=4$ での塑性域は図4に○で示してある。その領域は載荷面直下と法面沿いにあらわれ、注目すべきは図5の $p=1$ ですでに法面沿いにだけ塑性化が認められることである。

変位については図6に示したように、載荷端A点の沈下 $\delta_{y,A}$ 、および法肩B点のはらみ出し $\delta_{x,B}$ はともに荷重倍数 $p$ と共に非線形に急増する。

応力分布の詳細については述べるべき紙面がないので、図7に板要素No.3(図4参照)の最大圧縮応力 $\sigma_2$ 、沈下 $\delta_y$ 、変形係数 $D_R$ 、ポアソン比 $\mu_R$ および緩み係数Rの変遷を例示しておく。こゝでは省略したが、ある位置では早く応力が頭打ちとなり変位のみが増す傾向を生じ、ある位置では応力が次第に急増する傾向を生ずるなど、基盤内部の相互作用を物語る結果を得ている。

この数値計算例は与えた応力一ひずみ曲線の非線形性や要素の数の不足などをさらに改良し実際に近づけてから従来の耐荷力評価法との関連を論議することにしたい。

#### 4. 結 び

(1) 逐次破壊現象として変形の増大、剛性分布の変化および応力の再配分などを理論的に追跡することが可能のように思われ、その試みを示した。

(2) とくに変形の逐次的増大傾向をこの方法で予測できれば、実測変形値のマージンを定量的に判断するのに有效な方法となろう。

終りに電研の電子計算機室の鶴沢和子氏が十数回のプログラムの修正に快く応じながら、その作成に協力下さったことに深く感謝します。(1966年9月)

参考文献 (1) Clough, R.W. "Stress Analysis" chapter 7. (editor Zienkiewicz) 19

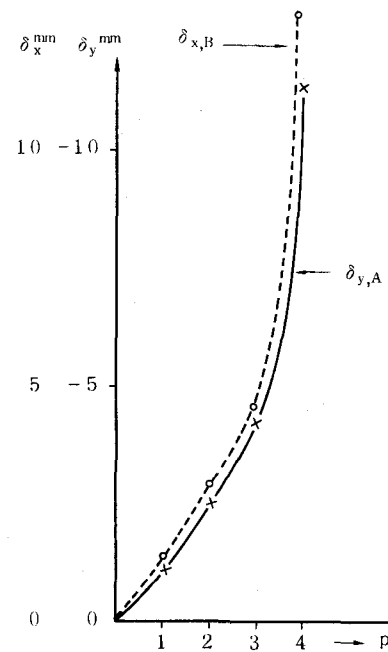


Fig. 6 Load Factor-Settlement  $\delta_y$  at the point A and Lateral Displacement  $\delta_{x,B}$  at the point B

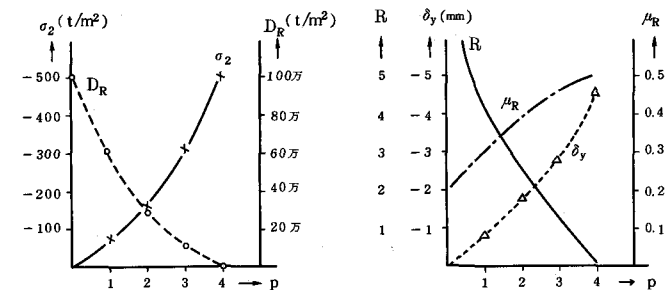


Fig. 7 Load Factor  $p$  - Modulus of Deformability  $D_R$   
 " "  $p$  - Principal Compressive Stress  $\sigma_2$   
 " "  $p$  - Settlement  $\delta_y$  and Poisson's Ratio  $\mu_R$   
 " "  $p$  - Factor of Relaxation  $R$   
 (example of values in element No.3)

An Analysis of Progressive Failure of Foundation  
with Non-Linear Deformability and Inhomogeneity

Masao Hayashi

(Civil Engineer in the  
Central Research Institute  
of Electric Power Industry  
Iwado, Komae-cho, Tokyo)

(Sept. 1966)

**Summary:**

Progressive Failure of Foundation is analysed based on the finite element method in taking into account of the non linear elasticity and local internal yielding in the cohesive foundation. Changes of deformability and stress-redistribution are calculated in stepwise increase of external load, and then the author found the distribution of rigidity, stresses and displacements overall in the foundation.

Although this method will be available for estimation of bearing capacity, it should be furthermore studied in the large strain theory, complicated loading history, inertia problem and stress-strain law near the fracture in confining condition.